

BIOSTRATIGRAPHIE DES MIOCÄNS IM RAUM VON FLENSBURG

von

Winfried Hinsch, Kiel

Inhalt: Zusammenfassung, S. 48
Samenvatting, S. 48
Einleitung, S. 49
Biostratigraphie, S. 49
 Vierland, S. 49
 Hemmoor und Braunkohlensande, S. 50
 Reinbek, S. 52
 Langenfelde, S. 52
 Gram, S. 54
 Parallelisierung mit Jütland, S. 56
Tektonik und Paläogeographie, S. 56
Literaturverzeichnis, S. 59
Anhang (Tabelle 1 bis 7), S. 60

ZUSAMMENFASSUNG

Aus 18 neueren Bohrungen des Flensburger Raums konnten auf Grund der Molluskenfaunen folgende Stufen des Miocäns nachgewiesen werden: Vierland, Behrendorf (Unter-Hemmoor), Oxlund (Ober-Hemmoor), Reinbek, Langenfelde, Gram. Die NW-deutsche Stufengliederung (chrono bzw. biostratigraphische Einheiten) kann mit der in Dänemark üblichen Miocängliederung parallelisiert werden.

Östlich Flensburg wurde Vierland transgressiv über Rupel und im Liegenden der Braunkohlensande angetroffen. Der Braunkohlensandkomplex kann durch den Frörup-Horizont, der mit seiner euhalinen Fazies der Behrendorf-Unterstufe des Hemmoors zuzuordnen ist, in die Ribe- und Odderup-Formation untergliedert werden. Die im Landesteil Schleswig angewandte Gliederung der Braunkohlensande wird in schematischen Profilen der Gliederung der Braunkohlensande im Raum von Holstein und Hamburg gegenüber gestellt. Weiter im Westen vertritt das Oxlund (u.a. bei Bramstedtlund) die Odderup-Formation. Der obere Glimmerton von Flensburg lässt sich in Reinbek (= Hodde), Langenfelde und Gram untergliedern. Wie in Jütland trennt im Flensburger Raum ein Glaukonitton an der Basis des Obermiocäns die Hodde-Formation (Reinbek) von der Gram-Formation (Obermiocän). Die Gram-Formation im Sinne von Rasmussen kann in folgende Stufen unterteilt werden:

Sylt-Stufe = *Nassa slieswicia*- Zone VI. Locus typicus: Saed

Gram-Stufe = *Astarte reimersi*- Zonen III-V. Locus typicus: Gram

Langenfelde-Stufe = *Astarte vetula* -Zone I + II. Locus typicus: Maade

Abschliessend wird auf die Ursachen von Mächtigkeitsunterschieden zwischen dem Flensburger Raum und dem Westschleswig-Block eingegangen.

SAMENVATTING

Door onderzoek van de molluskenfauna's konden in 18 recente boringen in de omgeving van Flensburg de volgende etages van het Mioceen aangetoond worden: Vier-

land, Behrendorf (Onder-Hemmoor), Oxlund (Boven-Hemmoor), Reinbek, Langenfelde en Gram. De noordwestduitse indeling in etages kan met de in Denemarken gebruikelijke onderverdeling van het Mioceen gecorreleerd worden.

Ten oosten van Flensburg werd het Vierland transgressief op het Rupel en onder de Braunkohlensande aangetroffen. Het Braunkohlensandcomplex kan door de Frörup-horizon, die door de euhaline facies tot de Behrendorf-subetage gerekend moet worden, onderverdeeld worden in Ribe- en Odderup-formatie. De in Sleeswijk toegepaste onderverdeling van de Braunkohlensande wordt in schematische profielen vergeleken met de onderverdeling van de Braunkohlensande in de omgeving van Holstein en Hamburg. Verder naar het westen wordt de Odderup-formatie vertegenwoordigd door het Oxlund (o.a. bij Bramstedtlund). De bovenste Glimmerton van Flensburg kan in Reinbek (= Hodde), Langenfelde en Gram onderverdeeld worden. Evenals in Jutland scheidt in de omgeving van Flensburg een glauconiethoudende klei aan de basis van het Boven-Mioceen de Hodde-formatie (Reinbek) van de Gram-formatie (Boven-Mioceen). De Gram-formatie in de opvatting van Rasmussen kan in de volgende etages onderverdeeld worden:

Sylt-Stufe = *Nassa sliceswicia*-zone VI. Locus typicus: Saed.

Gram-Stufe = *Astarte reimersi*-zones III-V. Locus typicus: Gram.

Langenfelde-Stufe = *Astarte vetula*-zone I + II. Locus typicus: Maade.

Tenslotte wordt nader ingegaan op de oorzaken van de verschillen in dikte tussen de afzettingen in het gebied van Flensburg en het westsleeswijkse blok.

EINLEITUNG

Als Ergänzung zu den Arbeiten von Johannsen (1970) und Bock (1971) sollen die für die Einstufung verwendeten Molluskenfaunen und die biostratigraphischen Ergebnisse veröffentlicht werden. Gleichzeitig ergibt sich die günstige Gelegenheit, die in NW-Deutschland übliche Stufengliederung des Miocäns mit der in Dänemark üblichen Miocängliederung zu parallelisieren, da die Ausbildung des Miocäns im Raum von Flensburg grosse Ähnlichkeit mit dem Miocän Jütlands zeigt.

Tabelle 1 gibt die Koordinaten der Bohrungen und die Tiefe der verwendeten Fossilhorizonte an. Auf der Abbildung 1 und 2 ist die Lage der Bohrungen zueinander dargestellt.

BIOSTRATIGRAFIE

Vierland

Ostlich von Flensburg transgrediert in den Bohrungen Glücksburg VI, Grundhof und Dollerup (Abbildung 3) das Vierland über mikrofossilreichem Rupelien in Septarientonfazies. Die Vierland-Fauna der drei Bohrungen (Tabelle 2) aus dem Glimmerton im Hangenden des Rupel und im Liegenden der Braunkohlensande umfasst nur 17 Arten. Zur Abgrenzung gegen das Hemmoor können dienen: *Haustator goettentrupensis* Coessmann, *Aporrhais speciosa* (Schlotheim) und *Fusiturris du-chasteli* (Nyst) während *Lutetia (Spaniodontella) nitida* (Reuss) und *Gemmula denticula borealis* Glibert Oligocän ausschliessen. Reichere Vierland-Faunen in der Umgebung wurden von Klintinghoved auf Alsen durch Sorgenfrei (1940) und von Wanderingup durch Dittmer (1959) beschrieben. Die Klintinghoved-Fauna gehört zur Pyrenidae-Fazies des Vierland die sich in einem Streifen von Alsen über Kiel bis

nach Südostholstein verfolgen lässt (Hinsch, 1972), während die Wanderup-Fauna im wesentlichen dem höheren Teil des Vierland zuzuordnen ist. Der Glimmerton des Vierlands ist unten am tonigsten und wird nach oben gegen die Braunkohlen-sande feinsandiger.

Hemmoor und Braunkohlensande

Der Braunkohlensandkomplex lässt sich durch einen geringmächtigen, marinen Hemmoor-Horizont in den zwei Frörup-Bohrungen VI und VII südlich von Flensburg untergliedern. Dieser Frörup-Horizont ist etwa 10 m mächtig und lieferte eine Molluskenfauna von 40 Arten (Tabelle 3). Trotz seiner geringen Mächtigkeit ist der Horizont im euhalinen Bereich abgelagert, wie das Auftreten von *Pecten (Hilberia) brummeli* Nyst, 5 Arten der Astartidae, *Cyclocardia*, *Cavulicina* und *Torculoidella* zeigt. Der Frörup-Horizont muss daher mit der euhalinen Behrendorf-Stufe des Unter-Hemmoor parallelisiert werden. Es fehlen die leicht brachyhalinen Formen des Oxlund. Die beiden Braunkohlensande des Flensburger Raums können nicht mit den unteren und oberen Braunkohlensanden des holsteinisch-hamburgischen Raums gleichgesetzt werden. Die Braunkohlensande vom Typ: Holstein werden nämlich durch den Lentidium-Horizont des obersten Hemmoor unterteilt, während die Braunkohlensande vom Typ: Schleswig durch den Frörup-Horizont des unteren Hemmoors gegliedert werden. Die Abbildungen 3 und 4 geben in schematischen ost-west Profilen die Schüttung der Braunkohlensande in das marine Nordseebecken im zeitlichen Ablauf wieder und zeigen die Unterschiede. Diese Profile basieren auf neueren biostratigraphischen Arbeiten des Verfassers in Schleswig-Holstein.

Für die durch den Frörup-Horizont untergliederten Braunkohlensandpa-kete lassen sich die für Jütland eingeführte Ribe-Formation von Sorgenfrei (1958) und die Odderup-Formation von Rasmussen (1961) verwenden. Die Ribe-Formation liegt zwischen Vierland (Wanderup, Glücksburg, Grundhof, Klintinghoved) und dem Frörup-Horizont des Behrendorf, der gleichzeitig ein Ausläufer der Arnum-Formation ist. Die Odderup-Formation liegt zwischen dem Frörup-Horizont und dem Reinbek bzw. Hodde im Hangenden. In Jütland werden Ribe und Odderup durch Ausläufer der Arnum-Formation getrennt. Das Arnum kann dem Hemmoor gleichgesetzt werden. Nach den Fossilisten von Sorgenfrei (1958) lassen sich im Arnum auch Behrendorf und Oxlund wiedererkennen.

In Südschleswig werden westlich von Frörup in den Bohrungen Oxlund und Grossenwiehe nach den Fossilisten von Dittmer (1959) Teile des Odderup durch Oxlund faziell vertreten. In der Bohrung Bramstedtlund (Bl. 1122) ist schliesslich die gesamte Odderup-Formation durch marine, leicht brachyhaline Schichten des Oxlund ersetzt worden (Tabelle 4). In dieser Bohrung wurde im Liegenden von marinem Reinbek von 85-97 m, Oxlund-Fauna von 97-137 m nachgewiesen, während die Fauna von 143-150 m bereits in die Behrendorf-Stufe gestellt werden kann. Der leicht brachyhaline Charakter des Oxlund macht sich noch durch das Auftreten

Abbildung 1. Lageplan

1. Bramstedtlund; 2. Stadtwerke Flensburg TB XV; 3. Flensburg, Neue Werft; 4. Glücksburg VI; 5. Flensburg, Rathausbunker; 6. Flensburg, Mühlenstr.; 7. Flensburg-Feldmühle III; 8. Flensburg-Feldmühle IV; 9. Adelbyer Meierei III; 10. Flensburg, Bommerlunder; 11. Sophienhof (Fuchskuhle) I; 12. Sophienhof (Fuchskuhle) II; 13. Sophienhof (Fuchskuhle) III; 14. Grundhof; 15. Dollerup Ab 3; 16. Frörup VI; 17. Frörup VII; 18. Frörup XI.

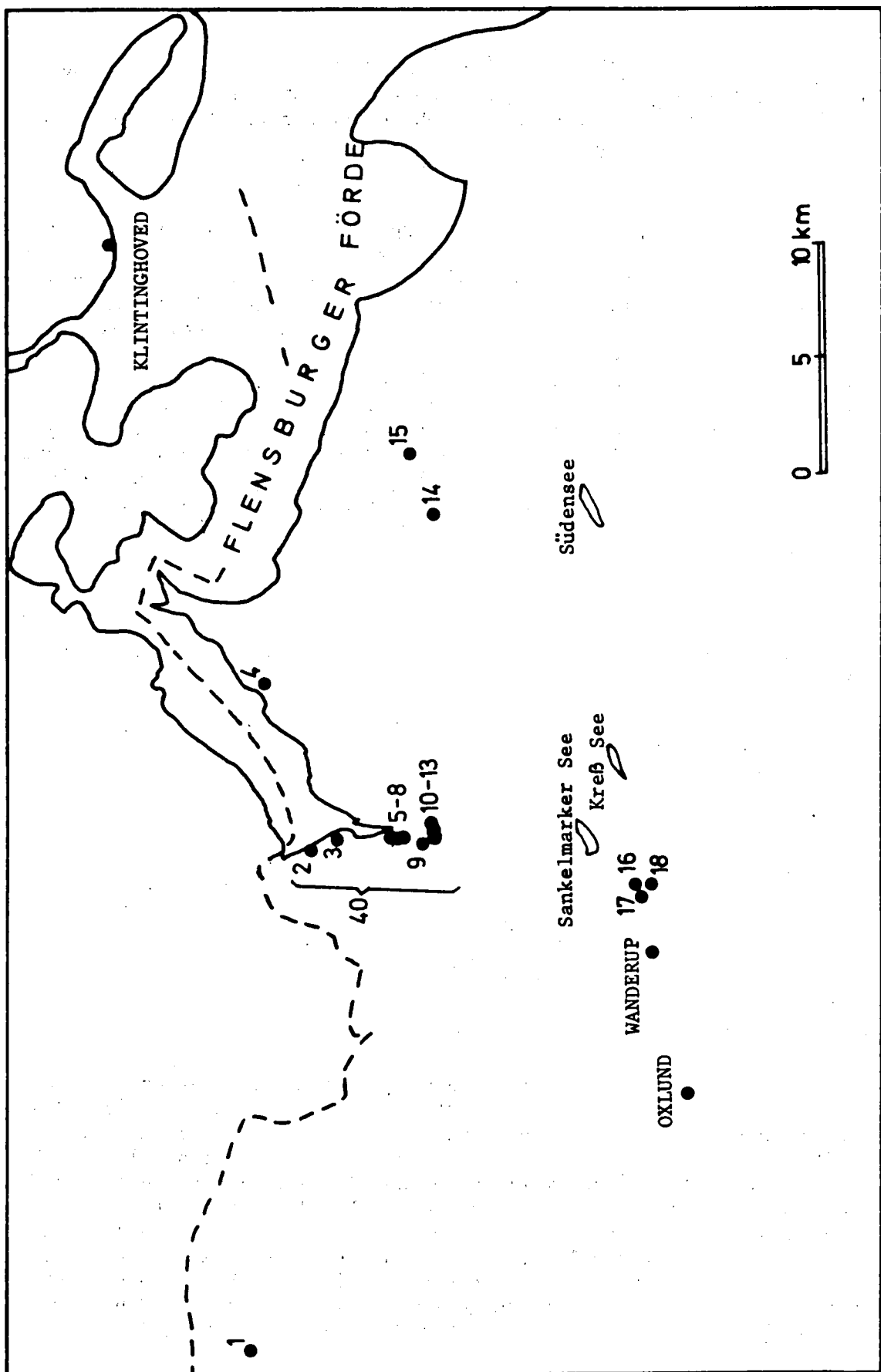


Abbildung 1.

von *Acanthocardia* und *Ervilia*, wie durch das Fehlen der Astartidae bemerkbar, während im Behrendorf *Astarte goldfussi* auftritt. *Lembulus* tritt im Oxlund ebenfalls auf, scheint aber im Bereich des Behrendorf nachgefallen zu sein.

Reinbek

Das Reinbek bildet in den Flensburger Bohrungen und auch in der Frörup II das Hangende der Braunkohlensande bzw. des Odderup. In Jütland wird der Reinbek-Glimmerton von Rasmussen (1961) Hodde-Formation genannt. Im westen überlagert in Bramstedtlund 12 m mächtiges Reinbek das Oxlund (Ober-Hemmoor), während im Flensburger Raum 20-44 m mächtiges Reinbek die Braunkohlensande von Odderup überlagert. Im Übergangsbereich Odderup/Hodde wurde in der Bohrung Sophienhof III von 189-190 m eine reichere Reinbek-Fauna beobachtet, die mit *Meiocardia harpa* (Goldfuss) Anklänge an die Flachwasserfazies der Reinbeker Schichten im Sinne von Anderson zeigt. Eine ähnliche Fauna von Flensburg-Neustadt wird bei Gripp (1964, S. 361, Fussnote 39) nach Bestimmungen von Philipp sen zitiert. Diese sandige, fossilreiche Fazies ist beschränkt auf geringmächtigen Lagen an der Basis der marinen Schichtfolge, im übrigen dominiert im Reinbek die euhaline, doch artenarme Glimmertonfazies des Reinbek, die in relativ tiefen Wasser abgelagert ist. Diese Fazies entspricht auch der Hodde-Formation von Rasmussen (1961). Sie wurde zwischen den Braunkohlensanden im Liegenden und der Langenfelde-Stufe im Hangenden beobachtet.

Tabelle 5 gibt die aus 54 Arten bestehende Fauna des Reinbek bzw. Hodde. Zur Abtrennung gegen das Obermiocän sind geeignet:

Nuculana (Saccella) westendorpi (Nyst)
Limopsis (Pectunculina) lamellata Lehmann
Astarte gracilis convexior Anderson
Astarte (Isocrassina) angulata Lehmann
Cyclocardia chamaeformis (Sowerby)
Hinia cimbrica (Ravn)
Gemmula zimmermanni (Philippi)
Gemmula denticula borealis Glibert
Asthenotoma festiva (Hoernes)
Boreodrillia gliberti (Hinsch)
Splendrillia selenkae (Koenen)

Langenfelde

An der Basis der Langenfelde-Stufe tritt im Flensburger Stadtgebiet ein glaukonitischer Horizont im Glimmerton auf. Es ist daher möglich, dass hier eine kleine Schichtlücke zwischen Reinbek und Langenfelde vorhanden ist. Der basale Glaukonitton wird auch von Rasmussen (1966) aus Jütland als Schichtglied zwischen der Hodde-Formation im Liegenden und der Gram-Formation im Hangenden ausgeschieden. Weiter im Süden im Raum von Kiel und Hamburg ist dieser Glaukonitton nicht mehr nachweisbar. Der obere Glimmerton im Hangenden der Braunkohlensande bildet dort ein lithologisch einheitliches Schichtpaket, das nur durch seine Fossilführung bio- bzw. chronostratigraphisch in die Reinbek-Stufe, Langenfelde-Stufe und Gram-Stufe aufgegliedert werden kann. Im Gebiet von Flensburg und Südjütland ist durch den erwähnten Glaukonitton immerhin eine litholo-

gische Gliederung des oberen Glimmertons in Hodde-Formation (Reinbek) und Gram-Formation im Sinne von Rasmussen (1956) non Hinsch (1952) möglich. Die Gram-Formation von Rasmussen kann biostratigraphisch in folgende Stufen untergliedert werden:

Zonen von Rasmussen	dänische Typlokalität	Stufen
<i>Nassa slieswicia</i> zone (VI)	Saed	Sylt-Stufe, Staesche, 1930
<i>Astarte reimersi - Nuculana pygmaea</i> zone (V)	Gram	Gram-Stufe, Hinsch, 1952
<i>Astarte reimersi-Goodallia esbjergensis</i> zone (III)		
<i>Astarte vetula</i> zone (I + II)	Maade	Langenfelde-Stufe, Staesche, 1930

Zu bemerken ist hierbei, dass in Maade nicht nur die Langenfelde-Stufe, sondern auch die Gram- und die Hodde- bzw. Reinbek-Stufe aufgeschlossen war (siehe bei Hinsch, 1958 und Rasmussen, 1966).

Die Mächtigkeit der Langenfelde-Stufe schwankt in Flensburg zwischen 17 und 45 m. Die grössten Mächtigkeiten mit Werten über 40 m werden in den Bohrungen Flensburg-Sophienhof I und II, Flensburg-Bommerlunder und Flensburg-Rathausbunker in einem schmalen Streifen erreicht, der wahrscheinlich als westliche sekundäre Randsenke zur Langenfelde-Zeit den rheinisch streichende Salz-Strukturzug begleitet. Sehr rasch geht von der Trogachse aus nach W die Mächtigkeit auf etwa 20 m zurück.

Tabelle 6 gibt die Langenfelde-Fauna mit 54 Arten aus 10 Bohrungen des Flensburger Raums sowie von den Bohrungen Frörup XI und Bramstedtlund. Es handelt sich um eine euhaline Fauna des etwas tieferen Wassers. Leitformen sind:

Astarte (Carinastarte) vetula Philippi
Astarte (Nicania) radiata Nyst & Westendorp (gegen das Gram)
Aquilo fucus luneburgensis (Philippi)
Uromitra wirtzi Hinsch

Zur weiteren Abtrennung gegen das Reinbek dienen:

Nucula (Lamellinucula) georgiana Semper
Cyclocardia orbicularis (Sowerby)
Turritella tricarinata (Brocchi)
Archimediella cochlias (Bayan)
Hinia (Zeuxis) holsatica (Beyrich)
Hinia (Zeuxis) syltensis (Beyrich)
Sipho gregarius (Philippi)
Gemmula badensis (Hoernes & Auinger)
Gemmula annae (Hoernes & Auinger)
Fusiturris helena (Semper)

Asthenotoma ravnii Rasmussen
Aphanitoma labellum (Borson)
Spirotropis modiola (Jan)

Gram

Im Flensburger Raum lässt sich die Gram-Stufe im Hangenden der Langenfelde-Stufe mit 10 - 50 m Mächtigkeit faunistisch belegen. Ähnliches gilt für das Stadtgebiet von Kiel, wo in der Bohrung des Städt. Krankenhauses ca. 20 m Glimmerton der Gram-Stufe im Hangenden der Langenfelde-Stufe nachgewiesen wurde. Auf der Westschleswig-Schwelle lässt sich in Bramstedtlund 45 m Gram über etwa 10 m Langenfelde nachweisen. Ähnliche Mächtigkeiten können für Gram und Langenfelde innerhalb der Gram-Formation im Raum von Esbjerg angenommen werden.

Tabelle 7 gibt die Fauna von 49 Arten aus 10 Bohrungen des Flensburger Raums und der Bohrung Bramstedtlund. Leitformen der Stufe sind:

Astarte (Carinastarte) reimersi Semper
Astarte (Nicania) waeli Glibert
Goodallia esbjergensis Rasmussen
Aquilofusus semiglaber (Beyrich)
Narona rothi (Beyrich)

Faziell bedingt ist *Nucula (Lamellinucla) georgiana* im Gram wesentlich seltener als in der Langenfelde-Stufe. Wahrscheinlich war das Meer flacher als in der Langenfelde-Stufe.

Die Sylt-Stufe ist im Raum Flensburg nicht mehr nachweisbar. Der nächste Fundpunkt von Sylt ist die Bohrung Saed südlich von Tondern (Rasmussen, 1958). Wahrscheinlich hat sich das Meer im späteren Gram bis Sylt ziemlich unvermittelt aus dem Flensburger Raum zurückgezogen.

In der Bohrung Flensburg-Bommerlunder folgen nämlich über fossilführende Glimmerton zunächst fossilfreie Glimmerfeinsande. Im nicht mehr marinen Milieu scheint die Sedimentation weitergegangen zu sein.

Abbildung 2

Übersichtskarte von Schleswig-Holstein mit eingezeichneten Profilen Typ Schleswig und Typ Holstein. Eingerahmte Flächen: oben, vergl. Abbildung 1; unten, s. Hinsch, 1972.

Erläuterung der Ziffern: 1. Bramstedtlund; 2. Grossenwiehe; 3. Oxlund; 4. Wandrup; 5. Viöl; 6. Behrendorf; 7. Ohrstedt; 8. Oldenswort; 9. Rendsburg-Armensee; 10. Katzeheide; 11. Holstein-Wöhrden 1; 12. Hohenwöhrden-Bohrungen; 13. Barsfleth; 14. Odderade; 15. Süderhastedt; 16. Langenklink; 17. Bokelvehm; 18. Wacken; 19. Gribbohm; 20. Vaale; 21. Elmshorn-Hörnerkirchen 1; 22. Langenhorn; 23. Gross-Hansdorf/Ahrensburg; 24. Hamburg-Eilbek; 25. Fuhlenhagen; 26. Niendorf-Stecknitz; 27. Reinbek; 28. Hemmoor; 29. Neuwerk; 30. Bevern 3; 31. Pinneberg-Etz; 32. Klintingshoved; 33. Morsum-Kliff; 34. Frörup; 35. Glücksburg; 36. Dollerup; 37. Grundhof; 38. Saed; 39. Kiel, Städt. Krankenhaus; 40. Bohrungen im Flensburger Stadtgebiet; 41. VE 10 Willach, Bl. Mulsum; 42. Hamburg, Valentiuskamp, U-Bahn-Bau; 43. Langenfelde, Haferkamp.

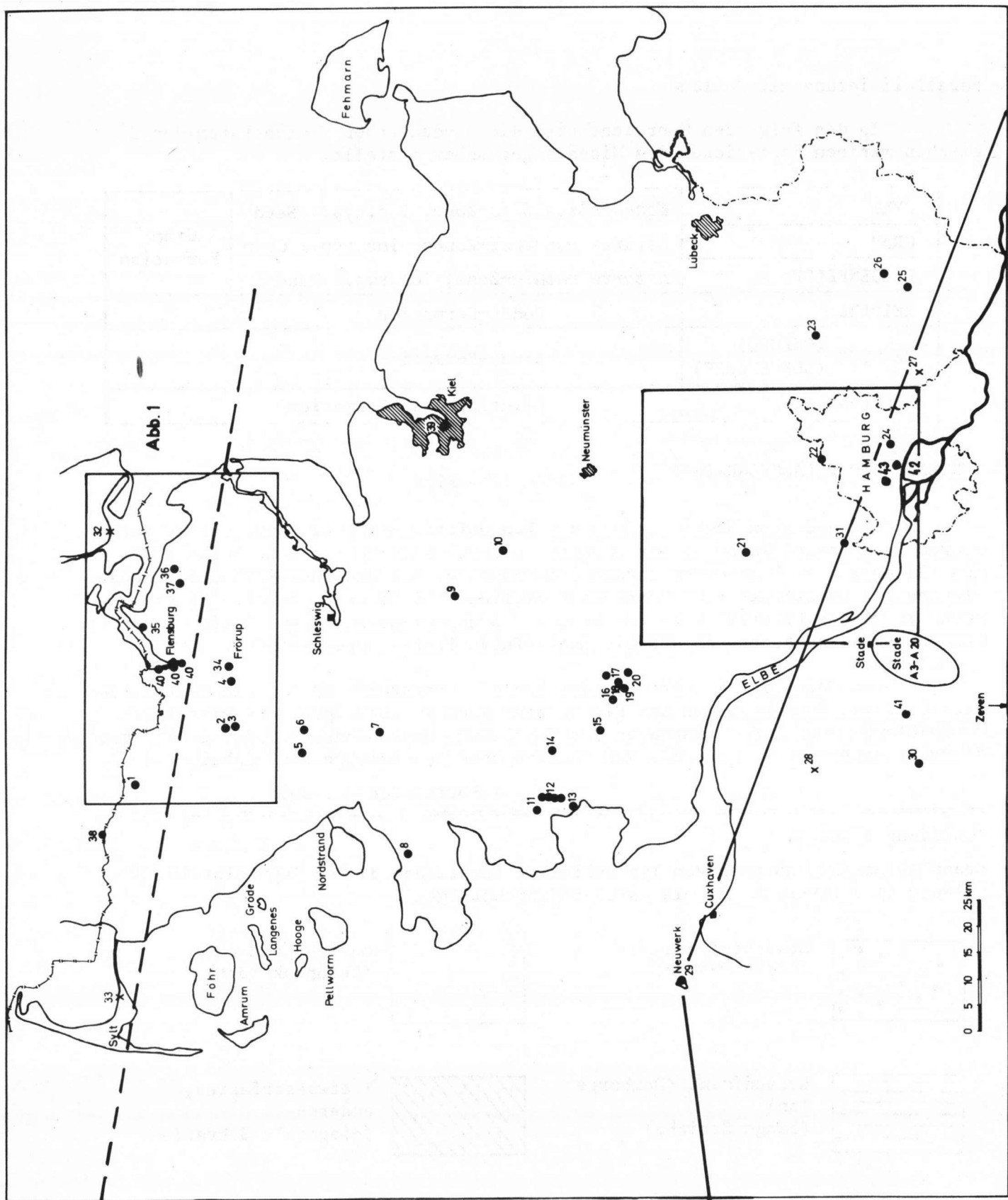


Abbildung 2

Parallelisierung mit Jütland

In den folgenden Übersicht sind die NW-deutschen Miocänstufen den dänischen marinen Formationen des Miocäns gegenüber gestellt.

SYLT	<i>Nassa elieswicia</i> -Zone, loc.typ.: Saed	Gram-Formation
GRAM	<i>Astarte reimersi</i> -Zonen, loc.typ.: Gram	
LANGENFELDE	<i>Astarte vetula</i> -Zone, loc.typ.: Maade	
REINBEK	Hodde-Formation	
HEMMOOR (OXLUND) (BEHRENDORF)	Arnum-Formation	
VIERLAND	Klintinghoved-Formation	

TEKTONIK UND PALÄOGEOGRAPHIE

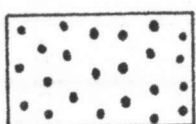
Die grössten Mächtigkeiten der Langenfelde-Stufe wie auch des gesamten oberen Glimmertonpakets von der Reinbek- bis zur Gram-Zeit (siehe Bock, 1971, Abb. 3) zeigen sich in einem sekundären Randtrog, der die rheinisch streichende Flensburger Salzstruktur am Westrand begleitet. Als ein Strukturelement senkrecht zu dieser Richtung ist die in der Bohrung Flensburg, Neue Werft angetroffene Störung anzusehen, an der die Langenfelde-Stufe ausgefallen ist.

Ein Vergleich des Profils der Bohrung Bramstedtlund auf dem Westschleswig-Block mit den Bohrungen des Flensburger Raum im Nordzipfel des Mittelholstein+Blocks zeigt, dass entgegen der Vermutung von Johannsen (1970, S. 25) von Flensburg aus nach Westen eine zusammenhängende Verbreitung und einheitliche

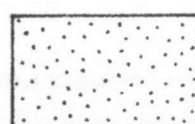
(Fortsetzung S. 59)

Abbildung 3 und 4.

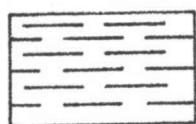
Braunkohlensandschüttung vom Typ Schleswig (Abbildung 3) und Typ Holstein (Abbildung 4) und Verzahnung mit mariner Schichtfolge.



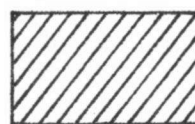
Braunkohlensande
(dicke Punkte)



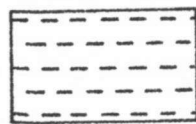
marine Feinsande
(feinpunktiert)



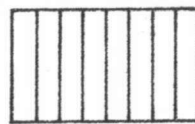
Hafsediment (Hamburger
Ton)
(lange Striche)



Tiefwasserfazies,
anaerob
(diagonale Schraffen)



brachyhaline Schichten
(kurze Striche)



Schichtlücke
(senkrechte Striche)

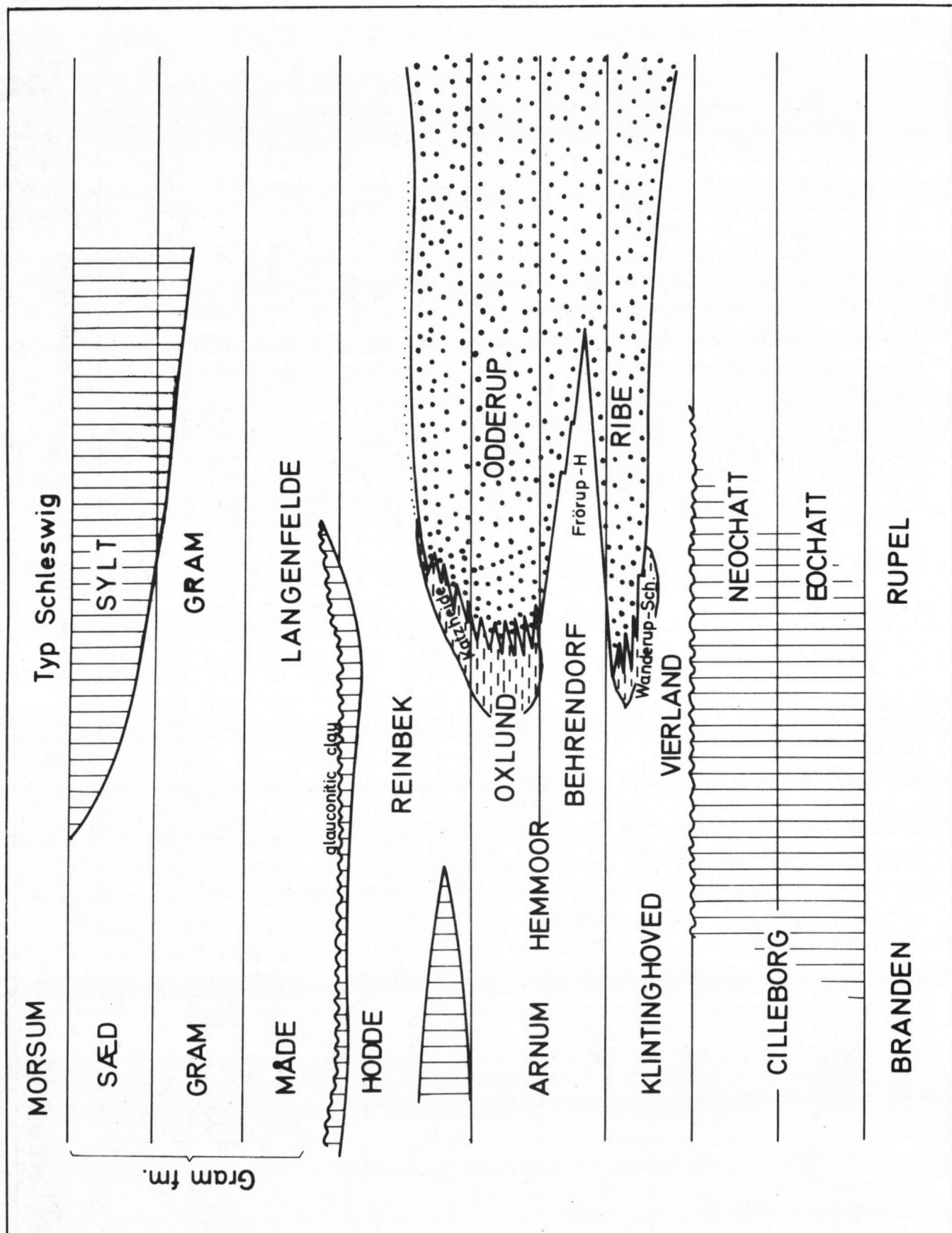


Abbildung 3

Typ HOLSTEIN

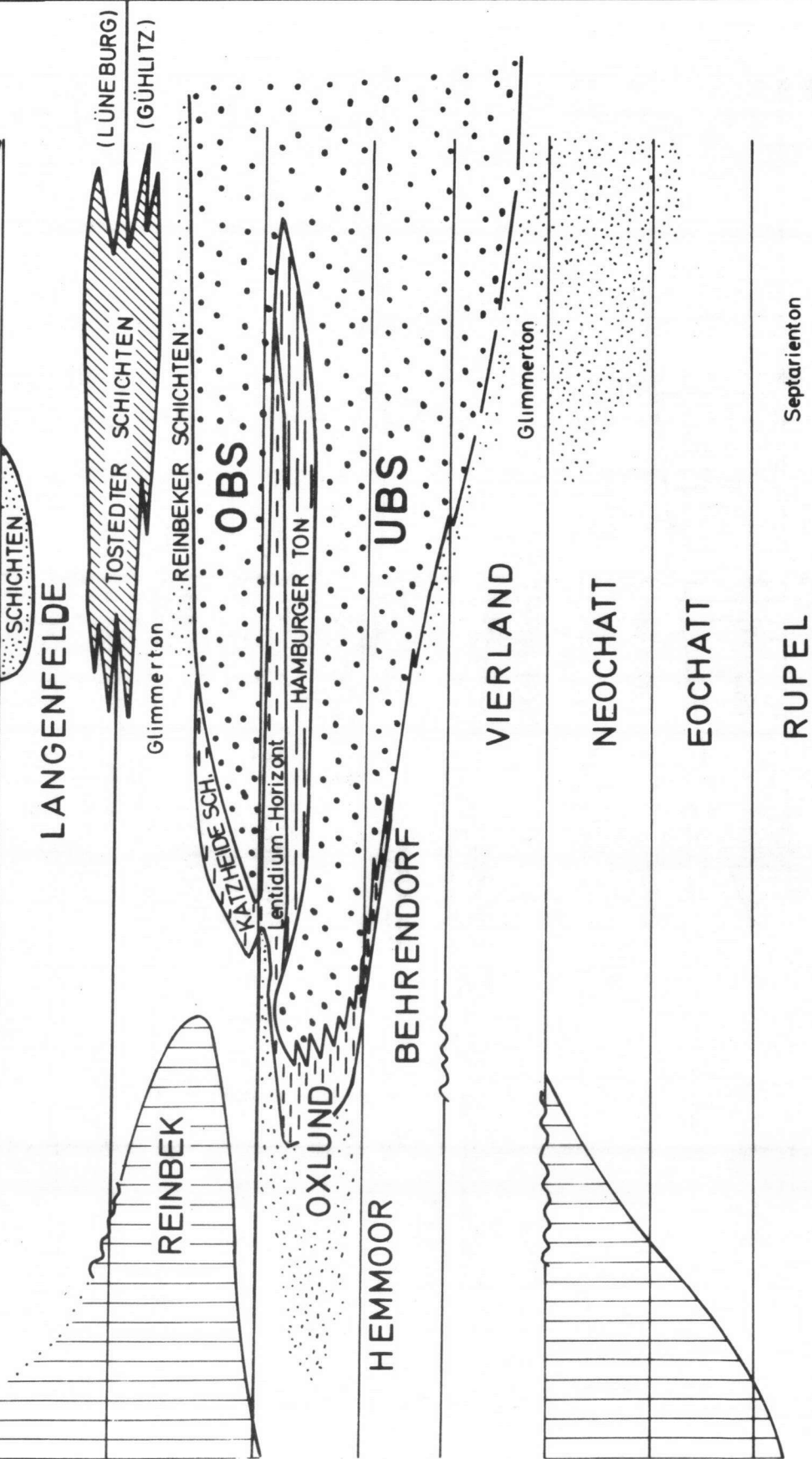
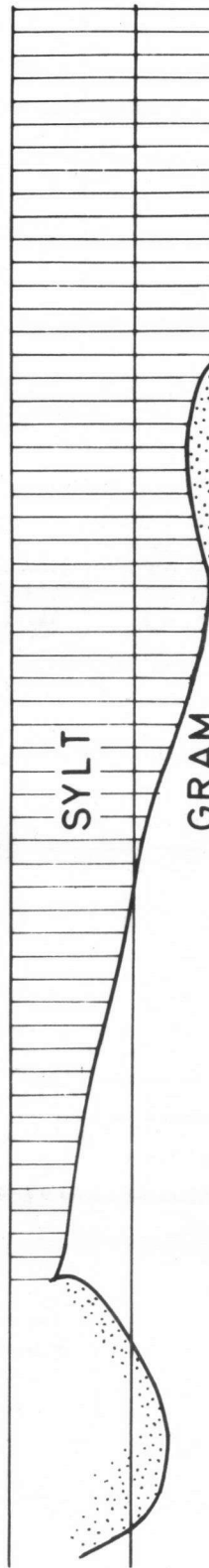


Abbildung 4

Ausbildung des Obermiocäns angenommen werden muss.. Hingegen konnte für den Raum östlich von Flensburg die Annahme von Johannsen zutreffen und sehr bald die Küste des Glimmertonmeeres erreicht werden.

Sowohl auf dem Westschleswig-Block wie im Flensburger Raum reicht die Schichtfolge bis ins jüngere Obermiocän hinauf. Daher wird in beiden Fällen auch die glaziale Abtragung etwa gleich stark gewesen sein. Die grossen Unterschiede in den Miocänmächtigkeiten kommen somit weder durch direkte Beeinflussung der Paläogeographie des Miocäns durch die Salinartektonik noch durch besonders starke glaziale Abtragung auf dem Westschleswig-Block zustande. Als Ursachen der Mächtigkeitsunterschiede können angesehen werden:

- 1) lokale Mächtigkeitsschwankungen ohne Fazieswechsel in den einzelnen Stufen durch halokinetische Bewegungen.
- 2) nach Westen zu fazielle Vertretung der mächtigen Braunkohlensande durch geringmächtigere marine Äquivalente.
- 3) starke Reduzierung der Mächtigkeit des Reinbeks im westlichen Schleswig-Holstein.

Während sich im Osten mit dem Beginn der Ablagerung des nordalbingischen Glimmertons schon im oberen Reinbek eine starke Absenkung bemerkbar macht, ist das Reinbek im Westen nur in geringer Mächtigkeit nachweisbar. Diese Schwellenregion zur Reinbek-Zeit lässt sich auch im Raum von Westholstein (Hinsch, 1972) und noch weiter im westlichen Niedersachsen nach Hinsch (1965) beobachten. So transgrediert im unteren Emsgebiet und Ostfriesland in den Bohrungen Holthusen 1, Westdorf 2 und Fehndorf 2T erst das Obermiocän über Rupelton. Im Westemmland liegt zwischen dem Obermiocän der Gram-Stufe in den Adorf-Bohrungen und dem Hemmoor, das in der Ziegelei Lemke bei Uelsen (Kemper, 1968) und in der Bohrung Wielen 23 vom Verfasser nachgewiesen wurde, offenbar eine Schichtlücke, in der Langenfelde und Reinbek fehlt.

LITERATURVERZEICHNIS

- Anderson, H.-J., 1964. Die miocäne Reinbek-Stufe in Nord- und Westdeutschland und ihre Mollusken-Fauna. - Fortschr. Geol. Rheinld. u. Westf., 14: 31-368, 52 Taf.
- Bock, W., 1971. L 1122 Flensburg-Nord, L 1322 Flensburg-Süd. - Erläut. Hydrogeol. Kt. Schleswig-Holstein, 1:50 000, 60 S., 8 Tab., 18 Abb., Kiel.
- Dittmer, E., 1959. Jungtertiäre Ablagerungen im Westlichen Schleswig-Holstein. - Meyniana, 8: 1-21.
- Dittmer, E., 1959. Das Vierland von Wanderup. - Die Küste, 7: 44-46.
- Gripp, K., 1964. Erdgeschichte von Schleswig-Holstein, 411 S., Neumünster.
- Hinsch, W., 1958. Die Bedeutung des Aufschlusses von Maade bei Esbjerg für die Gliederung des Obermiocäns. - Z. deutsch. geol. Ges., 109 (2): 463-474.
- Hinsch, W., 1961. Die Entwicklung der Astartidae vom Oligocän bis heute. - Meyniana, 10: 38-41.
- Hinsch, W., 1965. Neuere Obermiozän-Aufschlüsse in NW-Deutschland. - Seck. Leth. 46a: 145-160.
- Hinsch, W., 1972. Biostratigraphie des Miozäns im Raum von Wacken (Westholstein). - Geol. Jb. (in Druck).
- Hinsch, W., 1972. Mollusken-Biostratigraphie des Miozäns und Chatts im Südteil

- des Kreises Herzogtum Lauenburg (Schleswig-Holstein). - Meyniana, 22 (in Druck).
- Johannsen, A., 1970. Tektonischer Einfluss auf tertiäre und quartäre Sedimentverteilung im Flensburger Raum. - Meyniana, 20: 23-36.
- Kemper, E., 1968. Geologischer Führer durch die Grafschaft Bentheim und die angrenzenden Gebiete, 172 S., Nordhorn.
- Rasmussen, L. B., 1958. Det marine ungtertiaer ved Saed. - Medd. f. Dansk Geol. Foren, 14: 1-28, 2 Taf.
- Rasmussen, L. B., 1958. De miocaene Formationer i Denmark. - Danm. Geol. Unders., IV, 4, 5: 45 S., 7 Abb.
- Rasmussen, L. B., 1966. Molluscan Faunas and Biostratigraphy of the marine Younger Miocene formations in Denmark, I. Geology and Biostratigraphy. - Danm. Geol. Unders., II, 88: 358 S.
- Sorgenfrei, T., 1940. Marint Nedre-Miocæn i Klintinghoved paa Als. Et Bidrag til Løsning af Aquitanien-Spørgsmalet. Danm. Geol. Unders., II, 65: 143 S., 8 Taf.
- Sorgenfrei, T., 1958. Molluscan Assemblages from the Marine Middle Miocene of South Jutland and their Environments. - Danm. Geol. Unders., II, 79: 503 S., 76 Taf.

Anschrift des Verfassers: Dr. W. Hinsch,
Geologisches Landesamt Schleswig-Holstein,
23 KIEL
Mercatorstrasse 7.
Westdeutschland.

ANHANG (Tabelle 1 - 7)

Tabelle 1

Bohrung	Lage	Fossilhorizonte	
Bramstedtlung (1964)	Mbl. 1120 R 05.600 H 79.600 NN 15 m	Gram Langenfelde Reinbek Oxlund Behrendorf	25 - 65 m 75 - 85 m 85 - 97 m 97 - 137 m 143 - 150 m
Stadtwerke Flensburg TB XV	Mbl. 1122 R 27.400 H 76.890 NN 3 m	Gram bmo	32 - 39 m 39 - 50 m
Flensburg, Neue Werft	Mbl. 1122 R 27.790 H 75.570 NN 6 m	Gram Reinbek Störung mit Ausfall der Langenfelde Stufe bei ca. 65 m	45 - 60 m 70 - 90 m
Glücksburg Br. VI	Mbl. 1123 R 34.578 H 78.582 NN 5 m	Vierland Rupel	140 - 148 m 148 - 185 m

Tabelle 1 (Fortsetzung)

Bohrung	Lage	Fossilhorizonte	
Flensburg, Rathausbunker	Mbl. 1222 R 27.940 H 72.435 NN 12 m	Gram Langenfelde + Reinbek ?	65 - 80 m 80 - 124 m
Flensburg, Mühlenstrasse	Mbl. 1222 R 27.290 H 72.860 NN 58 m	Langenfelde ? Reinbek	114 - 150 m 150 - 160 m
Flensburg-Feldmühle III (1964)	Mbl. 1222 R 27.750 H 72.230 NN 16 m	Gram Langenfelde Reinbek	61 - 100 m 100 - 117 m 117 - 143 m
Flensburg-Feldmühle IV (1967)	Mbl. 1222 R 27.855 H 72.295 NN 10 m	Gram Langenfelde Reinbek	55 - 85 m 88 - 114 m 117 - 161 m
Adelbyer-Meierei III (1969)	Mbl. 1222 R 27.680 H 71.290 NN 38 m	Gram Langenfelde Reinbek	72 - 119 m 119 - 148 m 148-170 m
Flensburg, Bommerlunder	Mbl. 1222 R 28.250 H 70.780 NN 36 mm	Gram Langenfelde Reinbek	103 - 151 m 151 - 196 m 196 - 240 m
Sophienhof I (Flensburg-Fuchskuhle I)	Mbl. 1222 R 27.805 H 70.518 NN 33 m	Gram Langenfelde Reinbek	90 - 102 m 128 - 149 m 150 - 176 m
Sophienhof 2 (Flensburg-Fuchskuhle II)	Mbl. 1222 R 27.105 H 70.660 NN 31 m	Gram Langenfelde Reinbek	77 - 88 m 93 - 113 m 113 - 133 m
Sophienhof III (Flensburg-Fuchskuhle III)	Mbl. 1222 R 27.620 H 70.565 NN 34 m	Gram Langenfelde Reinbek	95 - 120 m 124 - 167 m 170 - 190 m
Grundhof	Mbl. 1223 R 41.970 H 71.488 NN 45 m	Reinbek Vierland	63 - 66 m 172 - 212 m
Dollerup Ab 3	Mbl. 1224 R 44.675 H 71.700 NN 38 m	Vierland	165 - 180 m

Tabelle 1 (Fortsetzung)

Bohrung	Lage	Fossilhorizonte	
Frörup Br. VI	Mbl. 1322 R 24.917 H 62.215 NN 29 m	Hemmoor	260 - 269 m
Frörup Br. VII	Mbl. 1322 R 24.540 H 62.190 NN 27 m	Hemmoor	228 - 233 m
Frörup Br. XI	Mbl. 1322 R 25.350 H 61.800 NN 29 m	Obermiocän Reinbek	128 - 142 m 142 - 163 m

Tabelle 2. Vierland-Stufe

	Glücksburg VI	Grundhof	Dollerup Ab 3
<i>Nuculoma</i> sp.		190-191 m	165-171 m
<i>Nucula nucleus</i> (L.)		172-200 m	
<i>Portlandia (Yoldiella) pygmaea</i> (Münster)		177,5 m	
<i>Yoldia glaberrima</i> (Münster)		172-207 m	165-180 m
<i>Limopsis (L.) aurita</i> (Brocchi)		190 m	174-180 m
<i>Astarte (A.) goldfussi</i> Hinsch			165-171 m
<i>Astarte (A.) gracilis</i> Münster			174-180 m
<i>Cyclocardia orbicularis</i> (Sowerby)			165-180 m
<i>Lutetia (Spaniodontella) nitida</i> (Reuss)		190 m	
<i>Laevicardium (Habecardium) subturgidum</i> (Orbigny)		204 m	
<i>Parvicardium</i> sp.		186 m	
<i>Dentalium</i> sp.			165-171 m
<i>Haustator goettentrupensis</i> Cossmann	140-146 m	201-207 m	
<i>Aporrhais speciosa</i> (Schlotheim)		207 m	
<i>Gemmula denticula borealis</i> Glibert			175-180 m
<i>Fusiturris duchasteli</i> (Nyst)	146 m		

Tabelle 3. Hemmoor-Fauna des Frörup-Horizont

	Frörup VI	Frörup VII
<i>Nuculoma haesendoncki</i> (Nyst)	262-269 m	
<i>Nuculana (Saccula) westendorpi</i> (Nyst)	263-264 m	230-231 m
<i>Portlandia (Yoldiella) pygmaea</i> (Münster)	268-269 m	230-231 m
<i>Yoldia glaberrima</i> (Münster)	260-269 m	230-233 m
<i>Anadara diluvii</i> (Lamarck)	263-264 m	
<i>Pecten (Hilberia) brummeli</i> (Nyst)	268-269 m	
<i>Astarte (A.) goldfussi</i> Hinsch	268-269 m	
<i>Astarte (A.) gracilis convexior</i> Anderson	268-269 m	
<i>Astarte (Nicania) radiata</i> (Nyst & Westendorp)	260-269 m	230-233 m
<i>Astarte (Isocrassina) angulata</i> Lehmann	268-269 m	230 m
<i>Goodallia</i> sp.		230 m

Tabelle 3. Hemmoor-Fauna des Frörup-Horizont (Fortsetzung)

	Frörup VI	Frörup VII
<i>Cyclocardia chamaeformis</i> (Sowerby)		231 m
<i>Cavilucina (Gonimyrtea) droueti</i> (Nyst)	263-269 m	230-231 m
<i>Laevicardium (Habecardium) sp.</i>	267-268 m	233 m
<i>Parvicardium</i> sp.	261-262 m	
<i>Venus</i> sp.		232 m
<i>Gouldia minima</i> (Montagu)	262-264 m	
<i>Spisula</i> sp.		232 m
<i>Hiatella arctica</i> (L.)		230 m
<i>Varicorbula gibba</i> (Olivi)	260-269 m	230-233 m
<i>Dentalium dollfusi</i> (Koenen)	262-269 m	230-233 m
<i>Turritella (Torculoidella) subangulata</i> (Brocchi)	268-269 m	
<i>Bittium spina</i> (Hoernes)	268-269 m	
<i>Aporrhais speciosa</i> (Schlotheim)	268-269 m	
<i>Neverita olla</i> (Serres)	268-269 m	
<i>Euspira</i> sp.	268-269 m	
<i>Hinia (Telasco) bocholtensis fuchsi</i> (Koenen) +	268-269 m	
<i>Ancilla (Baryspira) obsoleta</i> (Brocchi)	268-269 m	233 m
<i>Oliva (Strephona) sp.</i>	268-269 m	
<i>Gemmula stoffelsi</i> (Nyst)	263-264 m	
<i>Gemmula denticula borealis</i> Glibert	268-269 m	
<i>Fusiturris flexiplicata</i> (Kautsky)	263-264 m	233 m
<i>Bathytoma cataphracta jugleri</i> (Philippi)	268-269 m	
<i>Neoguraleus</i> sp.	263-264 m	
<i>Pleurotomoides</i> sp.	268-269 m	
<i>Strioterebrum</i> sp.	268-269 m	
<i>Chrysallida (Pyrgulina) pygmaea</i> (Grateloup)	267-268 m	
<i>Pyramidella plicosa</i> Bronn	268-269 m	
<i>Ringicula (Ringiculina) buccinea</i> (Brocchi)	268-269 m	
<i>Cyliphna cylindracea</i> (Pennant)	268-269 m	

Tabelle 4. Bramstedtlund

	Oxlund-Fauna 97-137 m	Behrendorf-Fauna 143-150 m
<i>Nuculoma laevigata</i> (Sowerby)		143 + 150 m
<i>Nucula nucleus</i> (L.)	123-137 m	
<i>Nuculana (Saccella) westendorpi</i> (Nyst)		143 + 144 m
<i>Nuculana (Lembulus) emarginata</i> (Lamarck)	109-116 m	144-150 m
<i>Portlandia (Yoldiella) pygmaea</i> (Münster)	109-116 m	144-150 m
<i>Yoldia glaberrima</i> (Münster)	97-137 m	143 + 150 m
<i>Anadara diluvii</i> (Lamarck)	109-137 m	144-150 m
<i>Limopsis (L.) aurita</i> (Brocchi)	123-137 m	
<i>Astarte (A.) goldfussi</i> Hinsch		144-150 m
<i>Laevicardium (Habecardium) dingdense</i> (Lehmann)	97-103 m	?

+) *fuchsi* - Übergangspopulation *bocholtensis* (Beyrich) na... *schlotheimi* (Beyrich), bezeichnend für die Hemmoor-Stufe

Tabelle 4. Bramstedtlund (Fortsetzung)

	Oxlund-Fauna 97-137 m	Behrendorf-Fauna 143-150 m
<i>Acanthocardia hanseata</i> (Kautsky)	109-116 m	
<i>Venus (Dosina) multilamella</i> (Lamarck)	123-137 m	
<i>Gouldia minima</i> (Montagu)	97-103 m	143 + 144 m
<i>Angulus (Peronaea) benedeni fallax</i> (Lehmann)		143 + 144 m
<i>Abra sorgenfrei</i> Anderson	109-116 m	
<i>Ervilia castanea</i> (Montagu)	97-137 m	
<i>Spisula trinacria</i> (Semper)	97-137 m	144-150 m
<i>Aloidis basteroti</i> (Hoernes)	109-116 m	
<i>Varicorbula gibba</i> (Olivi)	109-137 m	144-150 m
<i>Laevidentalium</i> sp.	104-116 m	143 + 144 m
<i>Cadulus (Gadila) gadus</i> (Montagu)	109-137 m	143 + 150 m
<i>Circulus praecedens</i> (Koenen)	123-137 m	
<i>Architectonica simplex</i> (Bronn)		143 + 144 m
<i>Turritella (Torculoidella) subangulata</i> (Brocchi)	123-137 m	143 + 144 m
<i>Haustator eryna</i> (Orbigny)	97-137 m	144-150 m
<i>Bittium spina</i> (Hoernes)	109-137 m	
<i>B. spina</i> (brachyhaliner Form mit abgeschwächter Skulptur)	97-103 m	
<i>Aporrhais alata</i> (Eichwald)	109-137 m	143 + 150 m
<i>Xenophora deshayesi</i> (Michelotti)	97-103 m	
<i>Neverita olla</i> (Serres)	109-137 m	144-150 m
<i>Euspira helicina</i> (Brocchi)		143 + 144 m
<i>Phalium (Semicassis) bicoronatum</i> (Beyrich)		143 + 144 m
<i>Ficus conditus</i> (Brongniart)		143 + 144 m
<i>Murex (Haustellum) inornatus</i> Beyrich		143 + 150 m
<i>Mitrella (Macrurella) nassoides</i> (Grateloup)		144-150 m
<i>Amyclina facki</i> (Koenen)	109-116 m	143 + 150 m
<i>Hinia (Telasco) bocholtensis fuchsi</i> (Koenen) +)	97-137 m	143 + 150 m
<i>Hinia cimbrica</i> (Ravn)	123-137 m	143 - 144 m
<i>Hinia turbinella</i> (Brocchi)	97-103 m	144-150 m
<i>Hinia cavata</i> (Bellardi)		144-150 m
<i>Hinia (Uzita) serraticosta</i> (Bronn)	123-137 m	144-150 m
<i>Streptochetus (Streptolathyrus) contiguus</i> (Beyr.)	123-137 m	
<i>Ancilla (Baryspira) obsoleta</i> (Brocchi)		143-144 m
<i>Oliva (Strephona) dufresnei</i> Basterot	123-137 m	143-144 m
<i>Babylonella fusiformis</i> (Cantraine)	109-116 m	
<i>Gemmula stoffelsi</i> (Nyst)	109-116 m	143 + 150 m
<i>Gemmula boreoturricula</i> (Kautsky)		143 + 144 m
<i>Gemmula denticula borealis</i> Glibert	97-137 m	
<i>Gemmula zimmermanni</i> (Philippi)		144-150 m
<i>Fusiturris aquensis</i> (Grateloup)		143 + 150 m
<i>Fusiturris flexiplicata</i> (Kautsky)		143 + 144 m
<i>Perrona obliquiplicatula</i> (Kautsky)		143 + 150 m
<i>Clavatula boreointerrupta</i> Kautsky	109-116 m	
<i>Genota ramosa</i> (Basterot)	109-116 m	
<i>Crassispira borealis</i> (Kautsky)		143 + 144 m

*) siehe Fussnote auf S. 63

Tabelle 4. Bramstedtlund (Fortsetzung)

	Oxlund-Fauna 97-137 m	Behendorf-Fauna 143-150 m
<i>Brachytoma obtusangula</i> (Brocchi)	97-103 m	144-150 m
<i>Brachytoma pannooides</i> (Koenen)		143 + 144 m
<i>Asthenotoma festiva</i> (Hoernes)	109-137 m	144-150 m
<i>Neoguraleus</i> sp.		143 + 144 m
<i>Pleurotomoides simplex</i> Sorgenfrei	109-116 m	
<i>Conus (Conolithus) dujardini</i> (Deshayes)	97-103 m	143 + 144 m
<i>Strioterebrum hoernesi</i> (Beyrich)		143 + 144 m
<i>strioterebrum basteroti</i> (Nyst)	97-137 m	143 + 150 m
<i>Terebra (Myurellina) neglecta</i> (Michelotti)		143 + 144 m
<i>Odostomia (Megastomia) conoidea</i> (Brocchi)	103 m	
<i>Syrnola (S.) hoernesi</i> (Koenen)	123-137 m	
<i>Turbanilla (Pyrgolampros) pseudoterebralis</i>	109-116 m	
<i>Pyramidella plicosa</i> (Bronn) / (Sacco)	97-116 m	
<i>Actaeon semistriatus</i> (Férussac)	97-103 m	
<i>Ringicula (Ringiculina) buccinea</i> (Brocchi)	97-137 m	143 + 144 m
<i>Cylichna cylindracea</i> (Pennant)	123-137 m	143 + 150 m
<i>Roxania subutriculus</i> (Brocchi)	97-137 m	
<i>Rhizorus acuminatus</i> (Bruguière)	97-137 m	143 + 144 m
<i>Vaginella depressa</i> Daudin	97-137 m	144-150 m

Fortsetzung siehe nächste Seite

Tabelle 5. Reinbek-Fauna

Adelbyer Meierei	Bommer- lunder Flsbg.	S III	FM III	FM IV	Flabg. Muhlen- str.	Neue Werft.	Förup	Brem- stedtlund
<i>Nucula nucleus</i> (L.)		189-190				71	150-160	94-97
<i>Nucula (Saccella) westendorpi</i> (Nyst)	239-243	189-190						90-94
<i>Portlandia (Yoldiella) pygmaea</i> (Von Münster)		189-190	140-143	160-161			158-162	90-94
<i>Tolidia glaberina</i> (Von Münster)	220-237	176-190	121-143	126-173			150-161	
<i>Limopsis (Limopsis) aurita</i> (Brocchi)	228-237			160-161			160	
<i>Limopsis (Pectunculina) retifera</i> (Semper)								
<i>Limopsis (Pectunculina) lamellata</i> (Lehnann)	164-166							
<i>Astarte (Astarte) gracilis convarior Anderson</i>	228-234							
<i>Astarte (Nicania) radiata</i> (Nyst & West.)	208-214							
<i>Astarte (Isocrassina) angulata</i> (Lehnann)	196-202							
<i>Cyclocardia chamaetornis</i> (Sowerby)	196-237	176-190	125-129	120-123	149-160			
<i>Meiocardia harpa</i> (Goldfuss)		189-190						
<i>Laevicardium (Habecardium) subturgidum</i> d'Orbigny		189-190						
<i>Particardium straeleni</i> (Gilbert)	164-166							
<i>Venus (Dosina) sp.</i>	228-234	189-190						
<i>Angulus (Personaea) benedeni fallax</i> (Lehmann)		189-190						
<i>Spinula trinacria</i> (Semper)		189-190						
<i>Varicorcula gibba</i> (Olivi)								
<i>Dentalium dollfusi</i> Von Koenen								
<i>Laseridentalium</i> sp.								
<i>Turritella (Torculoidella) subangulata</i> (Brocchi)		189-190						
<i>Strobiliformis glaber</i> (Da Costa)	228-234	189-190						
<i>Neverita olla</i> (Seeser)		189-190						
<i>Euspira helicina</i> (Brocchi)		189-190						
<i>Macromella nassoides</i> (Grateloup)		189-190						
<i>Hinia (Telasco) boholensis</i> (Beyrich)	214-228							
<i>Hinia cimbrica</i> (Ravn)		189-190						
<i>Tritonella tenuistriata</i> (Beyrich)								
<i>Uzita prisatica</i> (Brocchi)		189-190						
<i>Streptochetus (Streptodictyon) sexcostatus</i> (Beyrich)		189-190						
<i>Olia (Strophona) difressae</i> (Batherot)		189-190						
<i>Trigonostoma prorigonostoma</i> Sacco		189-190						
<i>Babylonella fusiformis</i> (Cantabrica)		189-190						
<i>Gemmula stoffelsi</i> (Nyst)		189-190						

Tabelle 5. Reithbek-Fauna (Fortsetzung)

	Adelbyer Meierei	Bonner- lunder Flsbg.	S III	FW III	FW IV	Flsbg. Mühlen- strasse	Neue Werft	Frörup	Brau- stedtlund
<i>Gemula boreoterricula</i> (Kautsky)									
<i>Gemula denticula borealis</i> Glibert	220-228	189-190				149-160		150-161	85-97
<i>Gemula zinnermanni</i> (Philippi)		189-190						161	
<i>Fusiturus flexiplicata</i> (Kautsky)		189-190						158	94-97
<i>Crassispira borealis</i> (Kautsky)		189-190							
<i>Brachytoma obtusangula</i> (Brocchi)		189-190							
<i>Asthenotona festiva</i> (Hoernes)									
<i>Boreodrilus giberti</i> (Hinsch)	196-202								
<i>Splandrilis selenkae</i> (Von Koenen)									
<i>Pleurotonoides laevis</i> (Seppar)		189-190							
<i>Conus (Conolithus) dujardini</i> (Deshayes)		189-190							
<i>Strioterebrum hoernesi</i> (Beyrich)		189-190							
<i>Odostomia (Megastomia) conoidea</i> (Brocchi)									
<i>Turbonilla (Pyrgulariopsis) pseudoterebralis</i> (Sacco)									
<i>Turbonilla (Morula) anomae</i> (Cossman & Peyrot)									
<i>Ringcula (Ringculina) bucoinea</i> (Brocchi)									
<i>Cyllichna cylindracea</i> (Pennant)									
<i>Rostroline subutriculus</i> (Brocchi)									
<i>Spiratella valvatina</i> (Renzs)	138-148								

Tabelle 6. Langenfelde-Fauna

	TB XIV	Adel- byer Meierei	Bonner- lunder Flsbg.	S I	S II	S III	FW III	FW IV	Rat- haus- bunker	Flsbg. Wühlen- strasse	Frörup	Brau- stedtlund
<i>Nucula (Lanellinimucula) georgiana</i> (Sepp)	39-40	138-148	157-184	143-144	93-98	137-140	101-113	88-100	124	114-149	128-139	70-75
<i>Portlandia (Yoldiella) pygmaea</i> (v. Münster.)	118-121	157-163	139-146	137-140		88-108			82			80-85
<i>Yoldia glaberrima</i> (Von Münster)		151-157										
<i>Linopeltis (L.) aurita</i> (Brocchi)		172-178										
<i>Astarte (Carinostarte) retula</i> (Philippi)	118-124	157-163	132-133	93-98	122-164	97-103	88-91	82	114-125			75-85
<i>Astarte (Nicania) radiata</i> (Nystr. & West.)	151-157	128-129			170-173	100-103	118-119	114-160				
<i>Cyclocardia orbicularis</i> (Sowerby)					132-142	98-103	137-173	101-103	88-103	114-160	128-140	75-80
<i>Parvicardium straeleni</i> (Glibert)	118-128								82			
<i>Varicorbula gibba</i> (Olivi)	118-120											
<i>Cuspidaria cuspidata</i> (Olivi)								109-113				

Tabelle 6. Langenfelde-Fauna. (Fortsetzung)

Tabelle 6. Langenfelde-Fauna. (Fortsetzung)

TB XIV	Addelbyer Meterei	Bonner- lunder Flsbg.	S I	S II	S III	FW III	FW IV	Rat- haus- bunker	Flsbg. Mühlen- strasse	Frörip 11	Bran- stedt- lund.
<i>Odostomia (Megastomia) conoides</i> (Brocchi)											
<i>Turbonilla pseudocostellata</i> Sacco											
<i>Strioturbonilla</i> sp.											
<i>Turbonilla (Pyrgolampros) pseudoterebralis</i> (Sacco)	122-124 118-120	151-157				101-103					80-85
<i>Pyrenidella pilosa</i> Brönn			118-120								80-85
<i>Ringicula (Ringiculina) buccinea</i> (Brocchi)											
<i>Retusa (Cylindrina) elongata</i> (Eichwald)	118-120										
<i>Spiratella atlanta</i> (Müsch)	128-138										
<i>Spiratella valentina</i> (Reuss)	139-148										
										93	114-125

Tabelle 7. Gran-Fauna.

Tabelle 7. Gran-Fam. (Fortsetzung)